

## چکیده

در این مطالعه با استفاده از  $480 \times 480$  یکی‌سینه دامنه‌ی رکوردهای مصنوعی لرزه‌نگاشت وود-اندرسون استخراج شده از شکل موج‌های مربوط به  $2650$  زلزله‌ی ثبت شده توسط لرزه‌نگاشت‌های مرکز لرزه‌نگاری کشوری وابسته به مؤسسه ژئوفیزیک دانشگاه تهران، پژوهشگاه بین‌المللی زلزله‌شناسی مهندسی زلزله و شبکه‌های موقت دانشگاه تحصیلات تکمیلی علوم پایه زنجان، رابطه کاهندگی برای بزرگای محلی برای کل ایران به صورت زیر محاسبه شده است:

$$-log A_0 = (1.556 \pm 0.06) \log \left( \frac{R}{100} \right) + (0.001637 \pm 0.0009)$$

$$(R - 100) + 3$$

که در این رابطه  $R$  فاصله کانونی بر حسب کیلومتر و  $A_0$  یکی‌سینه دامنه جابه‌جایی موج برشی بر حسب میلی‌متر است. داده‌های استفاده شده برای محاسبه رابطه بالا مربوط به زلزله‌های با فواصل کانونی  $10$  الی  $800$  کیلومتری است و در نتیجه رابطه محاسبه شده برای فواصل کانونی مساوی و کمتر از  $800$  کیلومتر معتبر است. در رابطه کاهندگی محاسبه شده، پارامتر پخش هندسی بیشتر از مقدار ارائه شده توسط رابطه هاتون و بور [۱] است که پخش فوق کروی جبهه موج در فواصل نزدیک را نشان می‌دهد. در صورت عدم استفاده از داده‌های با فاصله کانونی کمتر از  $60$  کیلومتر، پارامتر پخش هندسی به مقادیر پخش کروی نزدیک می‌شود. مقادیر تصحیح ایستگاهی در محدوده  $0/32$ - $0/44$  است. به طور کلی، برای بیشتر ایستگاه‌های واقع در زاگرس، البرز و شمال غرب ایران مقادیر تصحیح ایستگاهی منفی محاسبه شده است که نشان دهنده تقویت دامنه امواج برشی و برای بیشتر ایستگاه‌های ایران مرکزی و شمال شرق ایران تصحیح ایستگاهی مثبت به دست آمده است. رابطه کاهندگی به دست آمده برای ایران به طور قابل توجهی در فواصل نزدیک کانونی بزرگای متقاوی از روابط مورد استفاده در مراکز لرزه‌نگاری ایران می‌دهد. با توجه به گسترش شبکه‌های لرزه‌نگاری ایران و افزایش ثبت زلزله‌ها در فواصل نزدیک کانونی، پیشنهاد می‌شود از رابطه محاسبه شده در این مطالعه برای تخمين بزرگای محلی در ایران استفاده شود.

**واژگان کلیدی:** بزرگای محلی، منحنی کاهندگی، تصحیح ایستگاهی، فلات ایران، زاگرس.

## محاسبه منحنی کاهندگی مقیاس

### بزرگای محلی برای ایران

#### مهدى ماهري پير

دانشجوی دکتری، دانشگاه تحصیلات تکمیلی علوم پایه زنجان

#### احمد ميرهاشمی

دانشآموخته کارشناسی ارشد دانشگاه تحصیلات تکمیلی علوم پایه زنجان

#### عبدالرضا قدس (نويسنده مسئول)

دانشیار، دانشگاه تحصیلات تکمیلی علوم پایه زنجان,  
[aghods@iasbs.ac.ir](mailto:aghods@iasbs.ac.ir)

#### مجيد عباسى

استادیار، دانشکده مهندسی، گروه نقشه‌برداری، دانشگاه زنجان

(نحوه افت انرژی امواج عرضی با فاصله کانونی) در یک منطقه دارد. از آنجایی که برای محاسبه  $M_L$  محدوده فرکانسی  $1$  تا  $10$  هرتز استفاده می‌شود و بیشترین تخریب روی ساختمان‌ها در این محدوده فرکانسی اتفاق می‌افتد، تعیین منحنی کاهندگی

ساده‌ترین و متداول‌ترین روش برای برآورد کیفی انرژی آزاد شده از یک زمین لرزه، استفاده از یکی‌سینه دامنه‌ی ثبت شده بر روی لرزه‌نگاشت‌ها برای تعیین بزرگاست. تعیین رابطه بزرگای محلی ( $M_L$ ) نیاز به تعیین منحنی کاهندگی تجربی

## ۱- مقدمه

رابطه‌ی هاتون و بور [۱] که برای کالیفرنیای جنوبی محاسبه شده است، استفاده می‌کند و در محاسبات خود تصحیحات ایستگاهی را اعمال نمی‌کند.

استفاده از بزرگای ناتلی در مهم‌ترین مرکز لرزه‌نگاری ایران، مرکز لرزه‌نگاری کشوری ایران وابسته به مؤسسه ژئوفیزیک دانشگاه تهران، بیشتر جنبه تاریخی دارد و در ارتباط مستقیم با خرید کل شبکه از شرکت نانومتریکس کانادا است. به نظر نگارندگان هیچ ضرورتی برای استفاده از بزرگای ناتلی در ایران وجود ندارد چون کاهندگی امواج زلزله در ایران بیشتر شبیه کالیفرنیای جنوبی است. از آنجا که کاهندگی کم امواج الـجی در شرق آمریکای شمالی باعث می‌شود تا امواج زلزله‌های نسبتاً کوچک حتی در فواصل بیش از ۵۰۰ کیلومتر هم قابل ثبت شوند، ناتلی [۶] برای اولین بار بزرگای ناتلی را برای کانادا و شرق آمریکای شمالی ارائه داد تا امکان سنجش بزرگای زلزله‌هایی که در فواصل ۵۰۰ الی ۱۰۰۰ کیلومتر ثبت شده‌اند فراهم شود. او با این کار محدودیت فاصله کانونی ۵۰۰ کیلومتر فرمول بزرگای محلی ریشت [۷] که برای کالیفرنیای جنوبی ارائه شده بود را رفع کرد. با محاسبه یک رابطه‌ی کاهندگی بزرگای محلی که به مانند بزرگای ناتلی برای فواصل کانونی بیشتر قابل استفاده باشد، نیاز به استفاده از بزرگای ناتلی مرتفع می‌گردد و هر دو شبکه لرزه‌نگاری می‌توانند از یک فرمول واحد بزرگای محلی برای بیشتر فلات ایران استفاده کنند.

رابطه‌ی بزرگای محلی ( $M_L$ ) توسط عسکری و همکاران [۳] برای البرز مرکزی، شهریار [۸] و رضایپور و رضایی [۹] برای شمال غرب ایران کالیبره شده است. همچنین  $M_L$  توسط شجاع‌طاھری و همکاران [۱۰] برای کل ایران با استفاده از داده‌های دستگاه‌های شتاب‌نگاری به دست آمده است. رابطه‌ی شجاع‌طاھری محدود به فواصل کمتر از ۲۰۰ کیلومتر و زلزله‌هایی با بزرگای بیشتر از ۴/۵ و مخصوص استفاده در شبکه شتاب‌نگاری است؛ بنابراین همه رابطه‌های بزرگای موجود یا برای منطقه خاصی از ایران هستند و یا مخصوص استفاده در شبکه لرزه‌نگاری

تجربی در چند دهه‌ی اخیر به شدت مورد توجه بوده است (به طور مثال [۳-۲]).

برآورد اندازه‌ی زمین‌لرزه یا بزرگای آن نقش اساسی در تعیین سازوکار لرزه‌خیزی و تحلیل خطر زلزله در فلات ایران دارد. بهترین روش محاسبه‌ی بزرگای یک زلزله به روش گشتاوری (Mw) است که در مطالعات تحلیل خطر زلزله بسیار کاربردی است. با توجه به اینکه محاسبه بزرگای گشتاوری وقت‌گیر بوده و همچنین به دلیل اینکه بیشتر زلزله‌هایی که در ایران رخ می‌دهند بزرگایی کمتر از ۶ دارند، می‌توان بزرگای محلی را محاسبه و سپس با استفاده از روابط تجربی آن را به بزرگای گشتاوری تبدیل کرد. در این حالت با محاسبه دقیق پارامترهای کاهندگی و کاهش خطای محاسبه بزرگای محلی، بزرگای گشتاوری با دقت قابل قبولی قابل تخمین است.

کاتالوگ‌های لرزه‌ای تهیه شده توسط دو مرکز بین‌المللی لرزه‌نگاری (ISC) و مرکز اطلاعات زلزله آمریکا (NEIC)، اغلب در کارهای مهندسی زلزله و تحلیل خطر لرزه‌ای در ایران مورد استفاده قرار می‌گیرد. بزرگای گزارش شده در این کاتالوگ‌ها  $M_b$  و  $M_s$  است. عدم استفاده از یک بزرگای واحد و کالیبره شده توسط دو شبکه لرزه‌نگاری دائم کشوری، شبکه ملی لرزه‌نگاری وابسته به مؤسسه ژئوفیزیک دانشگاه تهران و شبکه لرزه‌نگاری باند پهن پژوهشگاه بین‌المللی زلزله‌شناسی و مهندسی زلزله، باعث ایجاد مشکلات و سردرگمی در استفاده از کاتالوگ‌های تولید شده در ایران جهت تحقیقات زلزله‌شناسی و همچنین کارهای تحلیل خطر شده است. کاتالوگ مرکز لرزه‌نگاری کشوری ایران وابسته به مؤسسه ژئوفیزیک دانشگاه تهران، بزرگای زلزله‌های ایران را بر حسب مقیاس ناتلی،  $M_N$ ، گزارش می‌کند [۴-۳]. شبکه لرزه‌نگاری کشوری ایران در حال حاضر از رابطه بزرگای ناتلی که توسط رضایپور [۵] برای شبکه تبریز کالیبره شده را استفاده می‌کند و در محاسبات خود تصحیحات ایستگاهی را اعمال نمی‌کند. پژوهشگاه بین‌المللی زلزله‌شناسی و مهندسی زلزله برای تعیین بزرگا در ایران از

نخواهد داشت. در حالت کلی، پوسته‌ی ایران در بیشتر مناطق به جز مکران و خوزر جنوبی دارای ویژگی‌های تقریباً یکسانی است، بنابراین با ارائه‌ی یک رابطه کاهنده‌ی برای کل منطقه ایران و همچنین با در نظر گرفتن تصحیحات ایستگاهی برای ایجاد تمایز بین مناطق مختلف، می‌توان به روشهی مطمئن در تخمین بزرگای زلزله در ایران دست پیدا کرد.

## ۲-۵۵۱۵-ها

داده‌های مورد استفاده در این مطالعه شکل موج‌های ۲۶۵۰ زلزله است که توسط دو مرکز اصلی لرزه‌نگاری کشوری، مؤسسه ژئوفیزیک دانشگاه تهران و پژوهشگاه بین‌المللی زلزله‌شناسی و مهندسی زلزله و همچنین شبکه لرزه‌نگاری موقع تالش متعلق به دانشگاه تحصیلات تکمیلی علوم پایه زنجان ثبت شده‌اند. شبکه لرزه‌نگاری کشوری وابسته به مؤسسه ژئوفیزیک دانشگاه تهران اولین شبکه لرزه‌نگاری مدرن در ایران است. این شبکه مجهز به ایستگاه‌های زلزله‌نگاری سه‌مؤلفه‌ای کوتاه دوره‌ی SS-1 با فرکانس ویژه یک هرتز، دیجیتايزر ۱۶ یا ۲۴ بیتی با فرکانس برداشت ۵۰ نمونه در ثانیه است. اخیراً این شبکه به تعدادی زلزله‌نگار باند پهن و باند متوسط مجهز شده است اما در این مطالعه از همه این ایستگاه‌های جدید استفاده نشده است. شبکه لرزه‌نگاری باند پهن ایران وابسته به پژوهشگاه بین‌المللی زلزله‌شناسی و مهندسی زلزله از لرزه‌نگارهای باند پهن گورالپ و دیجیتايزرهای ۲۴ بیتی استفاده می‌کند. در این مطالعه از داده‌های ایستگاه باند پهن پژوهشگاه بین‌المللی زلزله استفاده شده است. همچنین از داده‌های شبکه موقع لرزه‌نگاری دانشگاه تحصیلات تکمیلی علوم پایه زنجان در منطقه‌ی تالش استفاده شده است که شامل ۲۳ ایستگاه زلزله‌نگاری باند پهن و متوسط گورالپ و دیجیتايزرهای ۲۴ بیتی می‌باشد.

رویدادهای استفاده شده در این تحقیق با استفاده از روش HDC (مانند: [۱۹-۱۲]) تحت مکان‌یابی مجدد قرار گرفته‌اند و دارای دقت مکانی مطلق رومرکزی کمتر از ۵ کیلومتر هستند.

خاصی هستند. با توجه به اهمیت یکپارچه‌سازی کاتالوگ‌های لرزه‌ای ایران و سهولت استفاده از بزرگای  $M_L$  در تمام شبکه‌های لرزه‌نگاری ایران، محاسبه‌ی یک رابطه بزرگای محلی به همراه تصحیحات ایستگاهی برای ایستگاه‌های لرزه‌نگاری بسیار ضروری است.

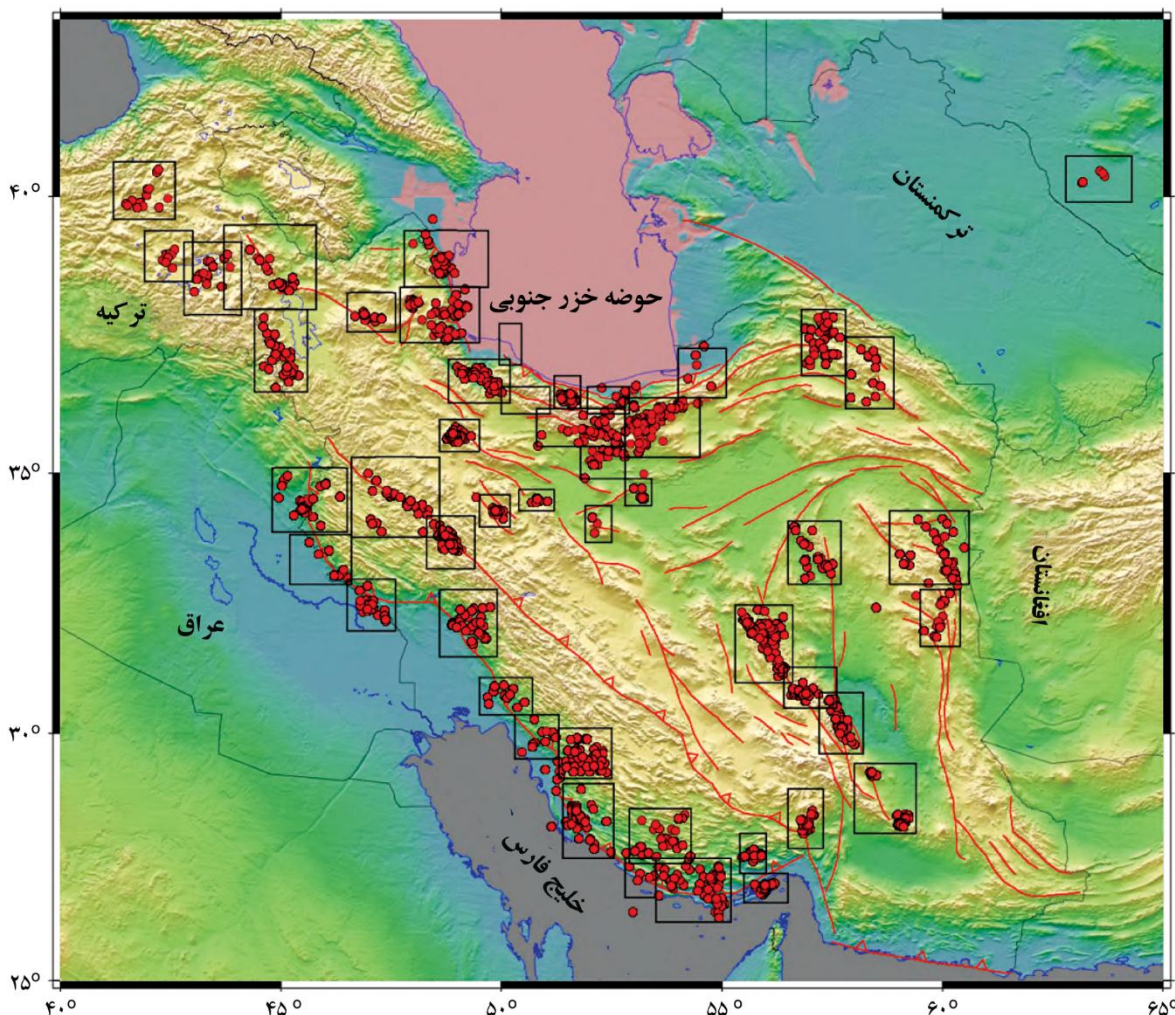
از آنجا که رابطه کاهنده‌ی امواج عرضی وابسته به ساختار پوسته‌ی منطقه مورد مطالعه می‌باشد، لازم است تا رابطه بزرگای محلی برای کل ایران محاسبه شود. همچنین رابطه بزرگای محلی محاسبه شده باید به گونه‌ای باشد که به سادگی قابل به کارگیری در شبکه‌های لرزه‌نگاری کشور باشد. زلزله‌های انتخاب شده در این مطالعه، خوشه‌های لرزه‌ای دوباره مکان‌یابی شده با روش تجزیه‌های پوستروئید (HDC) [۱۱] هستند که دارای دقت مکان‌یابی مطلق رومرکزی کمتر از ۵ کیلومتر هستند. در روش مکان‌یابی دوباره تجزیه‌های پوستروئید مجموعه زلزله‌هایی که از یکدیگر فاصله‌ی کمتر از ۱ یا ۲ درجه دارند به عنوان یک خوشه‌ی لرزه‌ای در نظر گرفته می‌شوند. خوشه‌های لرزه‌ای انتخابی پراکندگی مکانی خوبی در فلات ایران دارند که همگی در اعماق کمتر از ۲۵ کیلومتر رخ داده‌اند و با استفاده از آنها می‌توان به یک رابطه کاهنده‌ی بزرگای محلی دست یافت که تغییرات ساختار پوسته در کل فلات ایران در آن به خوبی لحظه شده باشد. مزیت استفاده از خوشه‌ی لرزه‌ای در به دست آوردن بزرگای محلی در این است که به علت زیاد بودن پرتوها بین یک خوشه و یک ایستگاه، می‌توان تخمین مطمئن‌تری از تصحیح ایستگاهی ارائه نمود. دقت بالای مکان‌یابی ناشی از استفاده از خوشه‌های زلزله به مقدار قابل توجهی در افزایش کیفیت منحنی کاهنده‌ی به خصوص در تخمین مطمئن‌تر پارامتر پخش هندسی کمک می‌کند. هرچه فاصله کانونی کمتر باشد، دقت مکان‌یابی زلزله از اهمیت بیشتری برخوردار خواهد بود. به طور کلی در فواصل کم، خطای مکان‌یابی زلزله باعث ایجاد خطأ در محاسبه‌ی پارامتر پخش هندسی می‌شود و در نتیجه منحنی کاهنده‌ی برای فواصل کم برآذش خوبی بر روی داده‌ها

روی مؤلفه‌های افقی و در پنجره موج برشی شکل موج‌های زلزله‌های انتخابی با استفاده از نرم‌افزار سایزن [۲۱] به صورت دستی توسط دو نگارنده اول این مقاله خوانش شد. جهت محاسبه‌ی دامنه‌ی مصنوعی وود-اندرسون، ابتدا پاسخ دستگاهی از روی شکل موج‌ها برداشته شد. سپس از هماییخت سیگنال به دست آمده با فیلتر وود-اندرسون، سیگنال مصنوعی وود-اندرسون ساخته شد و بیشینه دامنه‌ی جابه‌جایی بر روی شکل موج‌ها با استفاده از نرم‌افزار سایزن بر روی پنجره‌ی موج برشی استخراج شد. دامنه‌ی مصنوعی وود-اندرسون بر روی هر دو مؤلفه‌ی افقی شکل موج‌های دارای نسبت سیگنال به

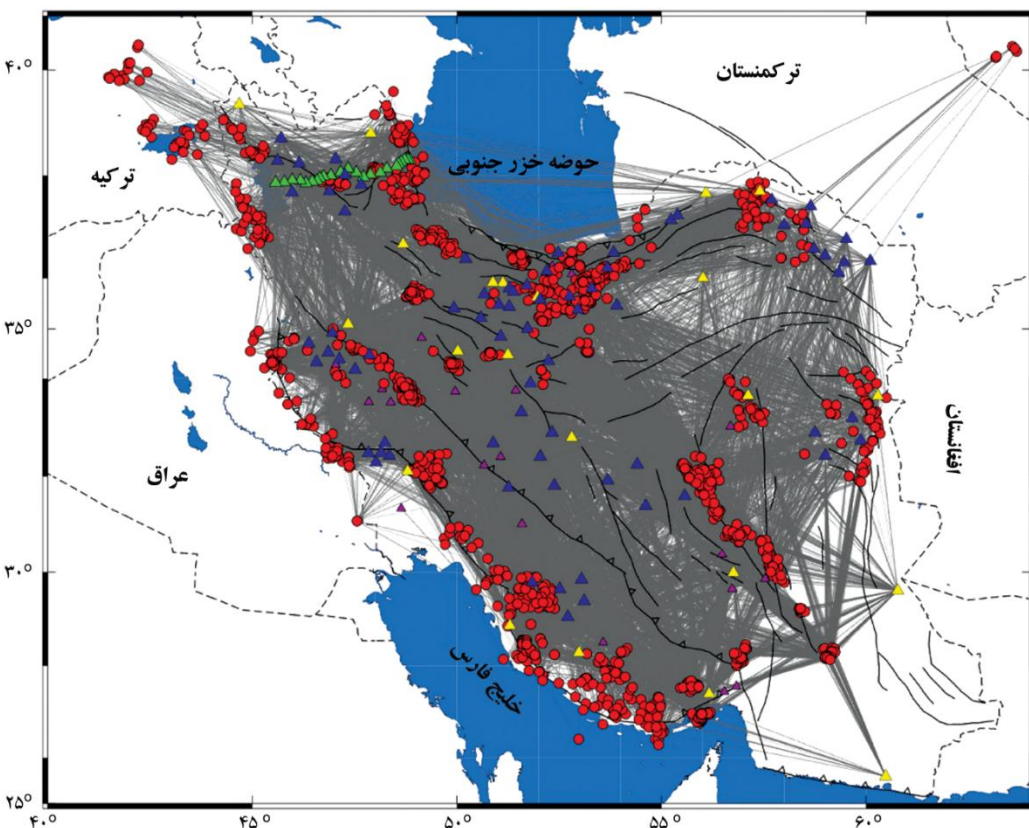
نویز بیش از پنج خوانده شد.

تعداد ۲۶۵۰ رویداد انتخابی در قالب ۴۵ خوشه لرزه‌ای هستند که در محدوده زمانی ۱۹۹۶ الی ۲۰۱۳ رخ داده‌اند (شکل ۱). شکل (۲) پوشش پرتوهای مورد استفاده در این تحقیق را نشان می‌دهد که نشانگر یک پوشش مناسب از اکثر مناطق ایران است. تنها در منطقه مکران و قسمت‌هایی از زاگرس به علت فقدان ایستگاه‌های لرزه‌نگاری و یا پایین بودن نرخ لرزه‌خیزی، پوشش آزمایشی خوبی وجود ندارد. پوشش مناسب پرتوهای مورد استفاده باعث می‌شود تا رابطه‌ی کاهنده‌ی بزرگ‌گای محلی محاسبه شده در ارتباط با میانگینی از تغییرات کاهنده‌ی ناشی از ساختار متنوع پوسته در ایران باشد.

در ابتدا ۵۰۴۲۸ بیشینه دامنه‌ی مصنوعی وود-اندرسون بر

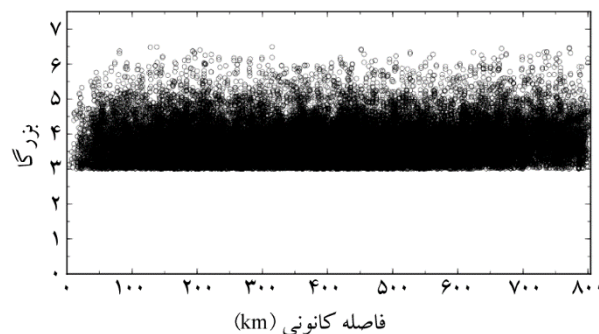


شکل (۱): ۴۵ خوشه لرزه‌ای استفاده شده در این پژوهش. مستطیل‌ها محدوده تقریبی هر خوشه را نشان می‌دهد. رومگز زلزله‌ها با دایره‌های قرمز نشان داده شده‌اند. گسل‌های فعال ایران با خطوط قرمز نشان داده شده است [۲۰].



شکل (۲): منطقه مورد مطالعه و پوشش پرتوی حاصل از داده‌های انتخابی. خطوط ممتد سیاه گسل‌های فعال، دایره‌ها رومرکز زلزله‌ها و مثلث‌های سبز، زرد و آبی به ترتیب ایستگاه‌های زلزله‌نگاری شبکه‌های موقع دانشگاه تحصیلات تکمیلی علوم پایه زنجان، پژوهشگاه بین‌المللی زلزله‌شناسی مهندسی زلزله و مرکز لوزه‌نگاری کشوری وابسته به مؤسسه ژئوفیزیک دانشگاه تهران می‌دهند. خطوط خاکستری پرتوهای بین جفت ایستگاه و زلزله‌ها هستند.

می‌شود که در ایران آستانه اشباع بزرگ‌گا حتی کمتر از این مقدار و نزدیک به  $5/8$  است. در شکل (۳) بزرگ‌گای محلی دامنه‌های وود-اندرسون انتخابی بر حسب فاصله از کانون زلزله نشان داده شده است. بزرگ‌گای اکثر دامنه‌های ثبت شده بین ۳ تا ۵ است.



شکل (۳) بزرگ‌گای پیشنه دامنه‌های وود-اندرسون استفاده شده بر علیه فاصله کانونی. بزرگ‌گای بزرگ‌ترین زلزله‌ی استفاده شده در این مطالعه شده است. بزرگ‌گاهای با استفاده از رابطه بزرگ‌گای هاتون و بور [۱] محاسبه شده‌اند.

جهت به دست آوردن رابطه کاهندگی بزرگ‌گای محلی، تنها از پیشنه دامنه‌ی وود-اندرسون رویدادهای بزرگ‌تر از بزرگ‌گای ۳ (به دست آمده از مقیاس هاتون و بور [۱]) و فاصله رومرکزی کمتر از ۸۰۰ کیلومتر استفاده شد. همچنین ایستگاه‌ها و زلزله‌هایی که دارای کمتر از پنج برداشت دامنه بودند از محاسبات حذف شدند. برای جلوگیری از اشباع بزرگ‌گای محلی، زمین‌لرزه‌های با بزرگ‌گای گشتاوری بیش از  $5/7$  (گزارش شده توسط NEIC/USGS) با بزرگ‌گای محلی به دست آمده از رابطه هاتون و بور [۱] مقایسه شد و زلزله‌هایی با اختلاف بیشتر از  $0/3$  در بزرگ‌گای آنها از باقی داده خارج شد (جدول ۱). بزرگ‌گای محلی تنها برای زمین‌لرزه‌های کوچک‌تر از بزرگ‌گای  $6/5$  قابل استفاده است و معمولاً برای رویدادهای با بزرگ‌گای محلی بیشتر از  $5/6$  اشباع می‌شود [۲۲]. با توجه به جدول (۱) مشاهده

جدول (۱): مقایسه زلزله‌های بزرگ‌تر از بزرگ‌گای ۵/۷ گزارش شده توسط USGS در مقیاس  $M_w$  با مقدار بزرگ‌گای محاسبه شده از رابطه هاتون و بور [۱] در مقیاس  $M_L$ . رومگز زلزله‌ها از کاتالوگ USGS استخراج شده است.

$M_w$ (USGS)	$M_L$	عمق (کیلومتر)	طول جغرافیایی	عرض جغرافیایی	زمان (UTC)	تاریخ میلادی
۶/۱	۵/۸۴	۱۲	۴۸/۰۲۰	۳۸/۱۳۵	۱۲:۵۷	۱۹۹۷/۰۲/۲۸
۶/۵	۵/۸	۱۷	۴۷/۵۰۰	۳۷/۷۰۸	۱۰:۳۷	۱۹۹۷/۰۲/۰۴
۷/۳	۶/۵۳	۱۳	۵۹/۸۱۵	۳۳/۸۸۰	۷:۵۷	۱۹۹۷/۰۵/۱۰
۶	۵/۵	۱۵	۴۸/۵۵۰	۳۸/۷۸۶	۴:۱۹	۱۹۹۸/۰۷/۰۹
۶/۲	۵/۴۸	۷	۵۲/۱۱۵	۲۹/۴۸۱	۲۳:۰۰	۱۹۹۹/۰۵/۰۶
۶/۳	۶/۰۰	۳۰	۵۱/۵۹۶	۳۶/۲۵۶	۱۲:۳۸	۲۰۰۴/۰۵/۲۸
۶/۴	۶/۱	۸	۵۶/۷۹۵	۳۰/۸۱۰	۲:۲۵	۲۰۰۵/۰۲/۲۲
۶	۵/۵۴	۱۹	۵۶/۸۹۴	۲۸/۱۰۱	۷:۳۱	۲۰۰۶/۰۲/۲۸
۶	۵/۴۷	۸	۵۵/۷۲۲	۲۷/۵۸۳	۷:۲۸	۲۰۰۶/۰۳/۲۵
۶/۱	۵/۸۱	۸	۴۸/۹۴۰	۳۳/۵۹۶	۱۱:۰۶	۲۰۰۶/۰۳/۳۱
۵/۸	۵/۳۲	۱۱	۵۵/۹۴۱	۲۶/۹۲۰	۲۱:۰۰	۲۰۰۶/۰۶/۲۸
۶/۱	۵/۳۸	۱۵	۵۵/۹۴۲	۲۶/۸۶۳	۱۱:۰۰	۲۰۰۸/۰۹/۱۰
۶/۲	۵/۸	۱۰	۵۹/۰۴۴	۲۸/۱۶۹	۸:۳۸	۲۰۱۱/۰۱/۲۷

جنس متفاوت پوسته در زیر ایستگاه نسبت به جنس پوسته میانگین منطقه و یا عدم کالبیره بودن دستگاه لرزنه‌گار باشد. اعمال تصحیح ایستگاهی باعث نزدیک شدن بیشینه دامنه‌ها به منحنی کاهندگی شده و دقت محاسبه بزرگ‌گار بهبود می‌دهد.

در رابطه (۱) منحنی تجربی کاهندگی شامل پارامترهای  $n$  و  $k$  است و بستگی به پخش هندسی و میرایی ناشی از غیر الاستیک بودن زمین و پراکنش پرتوها در طول مسیر بین کانون و ایستگاه دارد. برای به دست آوردن این پارامترها یک منحنی پارامتری (معادله ۲) بر دامنه‌های مشاهده شده برآذش می‌شود.

سوج و اندرسون [۲۴] یک روش غیر پارامتری برای برآذش منحنی کاهندگی ارائه دادند. در روش غیر پارامتری شب منحنی کاهندگی مستقیماً توسط خود داده‌ها تعیین می‌شود. در این روش دامنه‌های خوانده شده در فواصل اختیاری به طور خطی درون‌یابی می‌شوند تا مقدار منحنی کاهندگی در بعضی فواصل ثابت محاسبه شود. تعداد این نقاط ثابت بستگی به چگالی دامنه‌های خوانده شده در حول وحوش فاصله انتخابی دارد. در این تحقیق

### ۳- روش محاسبه منحنی کاهندگی

چارلز ریشر [۷] برای اولین بار مقیاس بزرگ‌گار برای مقایسه نسبی انرژی زلزله‌ها در جنوب کالیفرنیا معرفی کرد. رابطه ریشر با استفاده از بیشینه دامنه‌های ثبت شده روی مؤلفه‌های افقی لرزنه‌گاشت پیچشی وود- اندرسون با دوره طبیعی  $0/8$  ثانیه، فاکتور کاهندگی  $0/8$  و بزرگنمایی  $[20/80]$  به دست آمد.

رابطه ریشر برای بزرگ‌گای محلى به صورت زیر تعریف می‌شود:

$$M_L = \log A - \log A_0(\Delta) + S \quad (1)$$

که در آن  $A$  بیشینه دامنه خوانده شده (بر حسب میلی‌متر) بر روی لرزنه‌گاشت وود- اندرسون در فاصله کانونی  $\Delta$  (بر حسب کیلومتر) است. جمله  $\log A_0(\Delta)$ - منحنی کاهندگی تجربی است و با فرض این که زلزله با بزرگ‌گای  $M_L=3$  در فاصله  $100$  کیلومتر، بیشینه دامنه‌ای برابر با یک میلی‌متر ایجاد می‌کند، محاسبه می‌گردد. جمله‌ی آخر سمت راست معادله (۱)،  $k$  مقادیر تصحیح ایستگاهی را در خود جای می‌دهد که می‌تواند ناشی از

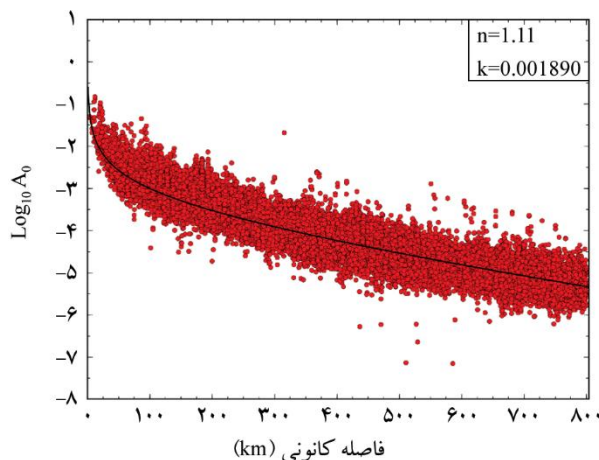
عملیات وارون‌سازی هیچ‌گونه وزن‌دهی به داده‌ها اعمال نشده است.

#### ۴- نتایج

در ابتدا برای مشاهده بصری تغییرات دامنه مصنوعی وود-اندروson با فاصله کانونی، تمام داده‌های انتخاب شده با استفاده از رابطه هاتون و بور [۱] :

$$-\log A_0 = 1.11 \log \left( \frac{R}{100} \right) + 0.00189(R - 100) + 3$$

برای بزرگای صفر برانبارش شده و به این ترتیب اثر بزرگا بر روی دامنه‌های مشاهده شده تا اندازه‌ی زیادی از بین رفت (شکل ۴). همان‌طور که در شکل (۴) مشاهده می‌شود به جز در فواصل نزدیک، سازگاری قابل قبولی بین دامنه‌های تصحیح شده با رابطه هاتون و بور [۱] وجود دارد.



شکل (۴): دامنه تصحیح شده بر حسب رابطه هاتون و بور [۱]. خط سیاه نشان‌دهنده  $\log A_0$  است. واحد  $A_0$  بر حسب میلی‌متر است. محور افقی فاصله کانونی به کیلومتر است.

بعد از فرآیند وارون‌سازی برای محاسبه بزرگا و پارامترهای کاهنده‌ی، مجدداً دامنه تصحیح شده با استفاده از رابطه به دست آمده برای  $\log A_0$  محاسبه شد (شکل ۵). رابطه‌ی کاهنده‌ی محاسبه شده برای تمام دامنه‌ها به صورت زیر است:

$$-\log A_0 = 1.455 \log \left( \frac{R_{ij}}{100} \right) + 0.001844(R_{ij} - 100) + 3 \quad (۴)$$

از روش غیر پارامتری استفاده نشده است چون مطالعات قبلی ([۳] و [۹]) نشان داده‌اند که نتایج روش پارامتری و غیر پارامتری در ایران خیلی به هم نزدیک است. علاوه بر این هدف این تحقیق محاسبه یک فرمول بزرگای محلی به روش پارامتری است که به راحتی قابل استفاده در نرم‌افزارهای موجود در شبکه‌های لرزه‌نگاری ایران باشد. معادله پارامتری منحنی میرایی به شکل زیر است:

$$\log A_{ij} = M_i - n \log \left( \frac{R_{ij}}{100} \right) - k (R_{ij} - 100) \quad (۲)$$

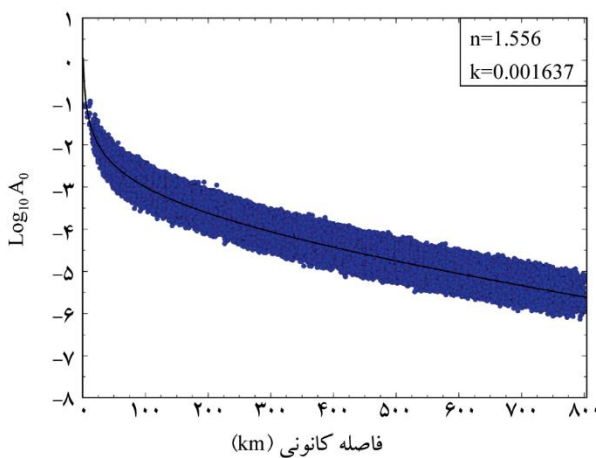
که در آن  $A_{ij}$  دامنه ثبت شده از زلزله‌ی نام در ایستگاه زام در فاصله‌ی کانونی بین هر جفت ایستگاه و زلزله،  $n$  ضریب پخش هندسی ( $A \propto e^{-kn/10R}$ ) و  $k$  ثابت کاهنده‌ی ( $A \propto \frac{1}{R^n}$ ) است. معادله (۲) یک معادله کاملاً خطی برای بزرگا و پارامترهای کاهنده‌ی است بنابراین مجھولات با استفاده از فرآیند وارون‌سازی مستقیم و به روش کمترین مربعات به دست می‌آیند. معادله (۲) را می‌توان به شکل ماتریسی به صورت زیر نوشت:

$$\log A_{ij} = \left( b_i, -\log \left( \frac{R_{ij}}{100} \right), -\frac{R_{ij} - 100}{100} \right) \begin{pmatrix} M_i & -3 \\ n & 100k \end{pmatrix} \quad (۳)$$

که در این رابطه  $\log A_{ij}$  بردار مشاهدات (لگاریتم بیشینه دامنه شبیه‌سازی شده وود-اندروson بر حسب میلی‌متر)؛  $b_i$  ضرایب مربوط به بزرگا (برای زلزله‌ی  $i$ am و برای  $i \neq m$  و  $b_i = 0$ ) است.  $R_{ij}$  فاصله بین ایستگاه زام و کانون زلزله‌ی نام، به کیلومتر است. برای اینکه اعداد ستون‌های ماتریس ضرایب هم مرتبه شوند، عملیات وارون‌سازی برای  $100k$  انجام شده است. در رابطه بالا لگاریتم بر مبنای  $10$  است، همچنین برای اراضی شرط ریشت، بزرگای به دست آمده  $M_i - 3$  است. برای اینکه مقدار پخش هندسی ( $n$ ) مقید به عدد  $1$  یا همان پخش کروی شود یک ردیف به ماتریس ضرایب اضافه شد که تمام ستون‌های آن به غیر از ستونی که مربوط به ضریب  $n$  می‌شود، برابر با صفر است و مقدار متاظر با آن در ماتریس مشاهدات برابر با  $1$  است. به دلیل اعمال شرط خوانش دامنه بر روی شکل موج‌هایی با نسبت سیگنال به نویه بالاتر از پنج، در

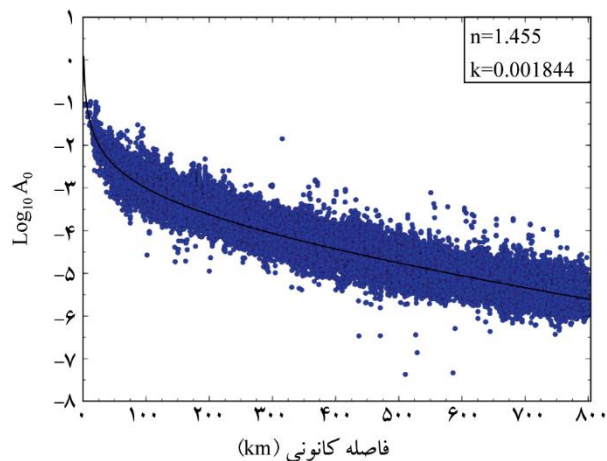
ضریب غیر الاستیک به ترتیب  $1/556$  و  $1/001637$  به دست آمده است (رابطه ۵). دامنه برآنبارش شده با استفاده از پارامترهای کاہندگی جدید دوباره محاسبه شده و بر علیه فاصله رسم شده است (شکل ۶).

$$-\log A_0 = (1.556 \pm 0.06) \log \left( \frac{R}{100} \right) + (0.001637 \pm 0.0009)(R - 100) + 3 \quad (5)$$



شکل (۶): منحنی کاہندگی به دست آمده از این مطالعه بعد از حذف داده‌های پرت.

با مقایسه مقادیر پارامترهای کاہندگی در مناطق مختلف (جدول ۲)، می‌توان نتیجه گرفت که مقدار پارامتر پخش هندسی در این مطالعه بیشتر از مقادیر به دست آمده در مطالعات دیگران است



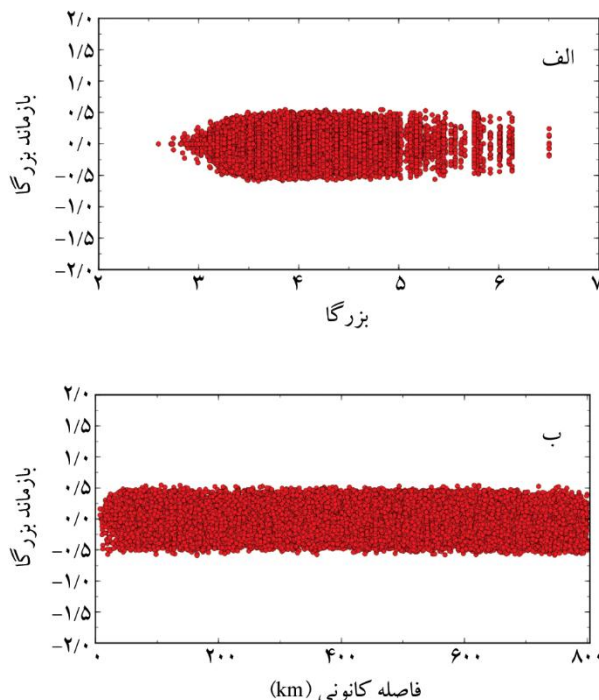
شکل (۵): دامنه تصحیح شده بر علیه فاصله به دست آمده از فرآیند وارون سازی. خط سیاه برابر با  $\log A_0$  به دست آمده در این مطالعه است.

همان طور که مشاهده می‌شود مقدار پخش هندسی و کاہندگی غیر الاستیک نسبت به فرمول هاتون و بور [۱] به ترتیب بیشتر و کمتر است. تعداد کمی از داده‌ها خطای زیادی در برآنبارش به رابطه‌ی به دست آمده دارند که در پایین و بالای منحنی نشان داده شده در شکل (۵) دیده می‌شود. خطای برداشت دامنه می‌تواند در ارتباط با برداشت اشتباه دامنه بر روی شکل موج زلزله‌ای باشد که از لحظه زمان رسید نزدیک به زلزله مورد نظر است. با حذف ۲۴۱۲ دامنه (۴/۷ درصد از کل داده‌ها) از بانک داده که انحراف معیار آنها از رابطه کاہندگی محاسبه شده بیشتر از ۲/۵ انحراف معیار است عملیات وارون سازی دوباره انجام شد. پس از این مرحله، مقدار پخش هندسی و

جدول (۲): مقادیر پخش هندسی، کاہندگی غیر الاستیک و محدوده تصحیح ایستگاهی به دست آمده در مناطق مختلف دنیا.

نام محقق	سال (میلادی)	مکان	$n$	$k$	محدوده تصحیح ایستگاهی
باکن و جوینر [۲]	۱۹۸۴	کالیفرنیای مرکزی	۱/۰۱۸	۰/۰۰۲۹۱	-۰/۵۹ تا ۰/۴۰
الساکر و همکاران [۲۵]	۱۹۹۱	نروژ	۱/۰۲	۰/۰۰۰۸۰	-۰/۲ تا ۰/۲
هاتون و بور [۱]	۱۹۸۷	جنوب کالیفرنیا	۱/۱۱۰	۰/۰۰۱۸	-۰/۵۲ تا ۰/۴۵
بومباخ و همکاران [۲۶]	۲۰۰۳	شمال غرب ترکیه	۱	۰/۰۰۹۶۰	-۰/۵ تا ۰/۵
گونزالس و همکاران [۲۷]	۲۰۰۶	منطقه‌ای در مکزیک	۱/۲۰۵۲	۰/۰۰۱۶	-۰/۴۶ تا ۰/۲۳
عسکری و همکاران [۳]	۲۰۰۹	منطقه البرز ایران	۱/۱۷۲۵	۰/۰۰۲۱	-۰/۴۲ تا ۰/۴۷
رضایور و رضایی [۹]	۲۰۱۱	شمال غرب ایران	۱/۰۷۱۹	۰/۰۰۲۶	-۰/۳۳ تا ۰/۳۷

مهندسی زلزله در جدول (۴) نشان داده شده است. مقادیر مثبت و منفی تصحیح ایستگاهی به ترتیب نشان دهنده کاهندگی بیشتر و تقویت بیشتر دامنه موج بررشی در پوسته اطراف یک ایستگاه نسبت به کاهندگی میانگین ارائه شده توسط رابطه (۵) است.

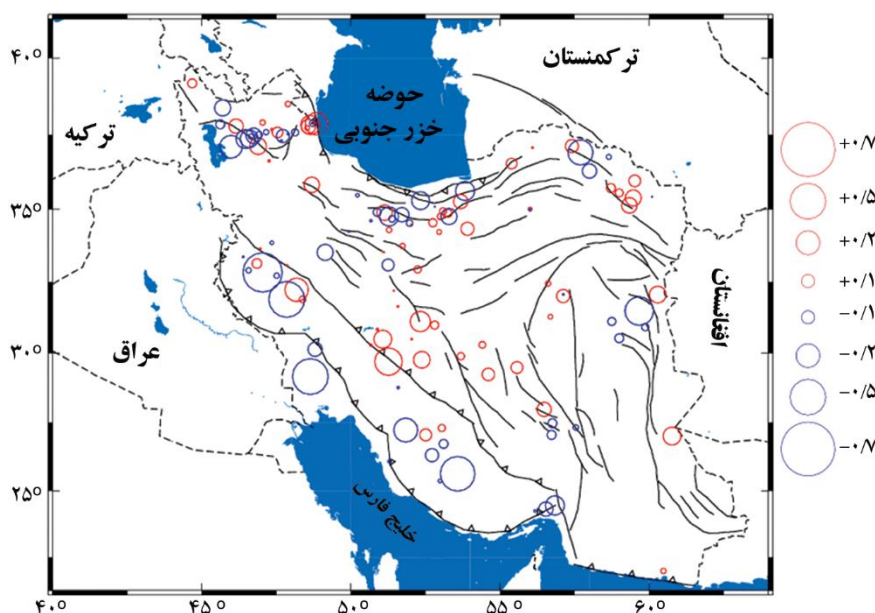


شکل (۷): بعد از بهینه سازی داده ها. (الف) بازماند بزرگا بر علیه بزرگا، (ب) بازماند بزرگا بر علیه فاصله کانونی.

که به دلیل استفاده از پرتوهای نزدیک با دقت مکانیابی بالا در این مطالعه است. پارامتر کاهندگی غیر الاستیک محاسبه شده در محدوده مقادیر به دست آمده در مطالعات دیگران است. مقدار پارامتر کاهندگی غیر الاستیک حساسیت خیلی کمی به پرتوهای نزدیک دارد.

در هر ایستگاه برای هر مؤلفه افقی یک بزرگا برای هر زلزله به دست می آید. بزرگای یک زلزله، از میانگین بزرگاهای به دست آمده برای آن زلزله در ایستگاه های مختلف محاسبه می شود. اختلاف بین بزرگای محاسبه شده (میانگین) با بزرگای به دست آمده از هر ایستگاه، بازماند بزرگا نامیده می شود. اگر فرآیند وارون سازی درست انجام شده باشد بازماندهای بزرگا نباید هیچ گونه وابستگی به فاصله و بزرگا از خود نشان بدene. در شکل (۷-الف و ب) نمودار بازماند بزرگا بر حسب بزرگا و فاصله کانونی رسم شده است و به خوبی نشان می دهد که بازماند بزرگا به فاصله و بزرگا وابستگی ندارد.

بعد از فرآیند وارون سازی، مقادیر تصحیح ایستگاهی برای هر ایستگاه با محاسبه میانگین بازماند بزرگای تمام زلزله های ثبت شده در آن ایستگاه، به دست آمد (شکل ۸). مقادیر تصحیح ایستگاهی و انحراف از معیار بزرگا برای ایستگاه های مؤسسه ژئوفیزیک در جدول (۳) و پژوهشگاه بین المللی زلزله شناسی و



شکل (۸) نقشه تصحیحات ایستگاهی برای بزرگای محلی. تصحیحات ایستگاهی مثبت و منفی به ترتیب به رنگ قرمز و آبی نشان داده شده است.

جدول (۳): مقدار تصحیح ایستگاهی و انحراف معیار برای ایستگاه‌های مؤسسه ژئوفیزیک دانشگاه تهران.

انحراف از معیار بزرگا	تصحیح ایستگاهی	تعداد بیشینه دامنه‌های ثبت شده	نام ایستگاه	انحراف از معیار بزرگا	تصحیح ایستگاهی	تعداد بیشینه دامنه‌های ثبت شده	نام ایستگاه
0.223	-0.070	308	GHG	0.158	0.024	1056	KLH
0.239	-0.122	358	KOO	0.203	-0.027	858	MHD
0.135	-0.356	78	MON	0.202	-0.018	845	RAZ
0.208	-0.116	181	TEG	0.153	0.071	985	VRN
0.226	0.042	213	HSH	0.195	-0.247	531	GLO
0.209	-0.224	400	MRD	0.187	-0.233	597	PRN
0.223	-0.122	396	SHB	0.164	0.259	636	ZEF
0.205	0.209	297	TBZ	0.221	0.017	538	GAR
0.209	-0.044	469	GZV	0.191	-0.173	522	AFJ
0.174	0.063	370	HSB	0.190	0.091	998	FIR
0.141	-0.207	158	SHR	0.189	0.181	397	KIA
0.201	-0.074	192	THE	0.152	0.195	116	MOG
0.255	0.016	225	ALA	0.216	-0.026	181	MYA
0.165	0.209	348	RAM	0.200	0.030	891	PIR
0.180	0.092	689	SAD	0.194	-0.164	202	SFR
0.179	0.133	268	SHI	0.206	-0.058	149	EMG
0.233	0.114	278	VIS	0.195	0.088	143	PAY
0.296	0.024	52	BZA	0.190	0.165	687	BAF
0.204	-0.161	301	MOK	0.185	0.085	732	CHK
0.177	0.098	597	PAR	0.200	0.127	139	KRD
0.189	-0.106	403	SRV	0.163	0.152	190	ANJ
0.223	0.239	37	MHI	0.165	0.057	503	LAS
0.181	-0.305	69	SHV	0.210	-0.197	518	SHM
0.164	0.165	12	MND	0.164	0.012	541	QOM
0.160	0.017	122	QAM	0.176	0.021	856	DMV
0.207	-0.329	85	KAZ	0.177	0.089	493	SFB
0.168	-0.446	42	KFM	0.177	-0.298	290	AZR
0.129	0.335	68	BRJ	0.254	-0.034	393	DHR
0.155	0.074	62	KMR	0.195	0.083	240	HRS
0.111	0.222	97	ROKH	0.222	-0.067	461	KOM
0.139	0.323	52	DOB	0.255	0.028	189	LIN
0.135	0.175	41	KHGB	0.160	0.162	265	MEH
0.157	-0.084	39	NGRK	0.178	0.116	123	AKL
0.139	-0.198	42	HAGD	0.185	0.220	283	BST
0.130	0.070	110	JHBN	0.212	-0.033	312	SRB
0.086	-0.468	16	KCHF	0.172	-0.080	323	DAH
0.124	-0.439	44	JHRM	0.050	-0.487	11	AHWZ
0.141	-0.206	42	NIAN	0.089	0.120	7	TKDS
0.145	0.014	44	KLNJ	0.073	0.036	6	TNSJ
0.148	-0.055	32	CHMN	0.158	0.044	37	TPRV

جدول (۴): مقادیر تصحیح ایستگاهی و انحراف معیار برای ایستگاه‌های پژوهشگاه بین‌المللی زلزله‌شناسی و مهندسی زلزله.

نام ایستگاه	تعداد دامنه‌های ثبت شده	تصحیح ایستگاهی	انحراف از معیار بزرگا
NASN	1002	0.097	0.164
KRBR	1288	-0.115	0.213
GHVR	551	-0.133	0.186
MRVT	182	0.029	0.255
ZNJK	117	0.214	0.201
CHTH	330	0.180	0.179
GRMI	265	0.106	0.239
DAMV	871	-0.075	0.186
SNGE	537	-0.038	0.222
ASAO	863	-0.003	0.185
SHGO	580	-0.176	0.209
GHIR	937	-0.058	0.213
THKV	564	-0.098	0.188
MAKU	90	0.146	0.215
ZHSF	482	0.241	0.159
BNDS	907	-0.019	0.196
SHRT	159	0.200	0.184
TABS	272	-0.006	0.270
BJRD	65	0.144	0.236
KHMZ	295	-0.003	0.162
SHRD	63	-0.039	0.176
SHRO	8	0.073	0.144
RMKL	5	-0.360	0.207
CHBR	123	0.085	0.160
AHRM	255	-0.031	0.243

شکل (۹) دیده می‌شود، در رابطه کاہندگی به دست آمده از این مطالعه (منحنی قرمز رنگ) مقدار پارامتر پخش هندسی بیشتر از رابطه هاتون و بور [۱] به دست آمده است که نشان‌دهنده‌ی پخش فوق کروی موج برشی در فواصل کوتاه است. همچنین ضریب غیر الاستیک به دست آمده در این مطالعه کمتر از رابطه هاتون و بور است. با توجه به شکل (۹) مشخص است که در فواصل کمتر از ۱۰۰ کیلومتر منحنی کاہندگی هاتون و بور افت کمتر دامنه و در نتیجه بزرگای بیشتری نسبت به رابطه‌ی به دست آمده در این مطالعه پیشنهاد می‌کند. همچنین برای فواصل بیشتر از ۲۰۰ کیلومتر، منحنی کاہندگی هاتون و بور افت بیشتر و در نتیجه بزرگای کمتری را نسبت به رابطه به دست آمده در این مطالعه نشان می‌دهد.

در شکل (۹) منحنی‌های کاہندگی به دست آمده از این مطالعه و مطالعه‌ی هاتون و بور [۱] نشان داده شده است. همان‌طور که مشاهده می‌شود، تنها در فواصل کانونی ۱۰۰ تا ۲۰۰ کیلومتر این دو منحنی با یکدیگر مطابقت نسبی دارند و در فواصل کانونی دیگر منحنی به دست آمده از این مطالعه اختلاف زیادی با رابطه‌ی هاتون و بور دارد.

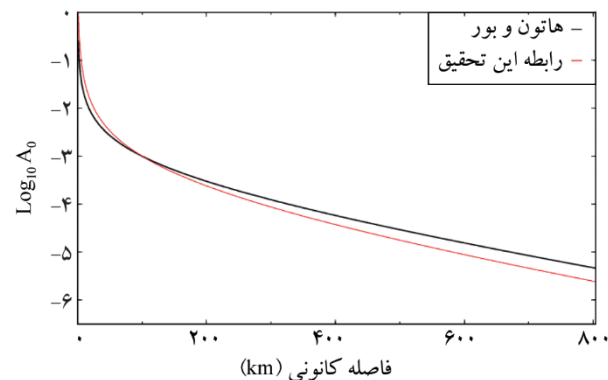
## ۵- بحث و نتیجه‌گیری

در این مطالعه رابطه کاہندگی برای بزرگای محلی برای کل ایران و برای فواصل کانونی مساوی و یا کمتر از ۸۰۰ کیلومتر محاسبه شد. رابطه تجربی کاہندگی محاسبه شده به مقدار قابل توجهی با رابطه‌ی هاتون و بور [۱] متفاوت است. همان‌طور که در

(شکل ۸). در ابتدای شروع این تحقیق، به دلیل استفاده از تابع پاسخ دستگاهی نامناسب برای چند ایستگاه، تصحیحات بزرگ‌گایی برای آنها مشاهده شد که با برطرف کردن اشتباه، تصحیحات بزرگ‌گایی تمام ایستگاه‌ها در بازه‌ی مورد قبول قرار گرفت. در صورت اضافه شدن ایستگاه به مجموعه ایستگاه‌های مورد استفاده در این تحقیق، به راحتی و با محاسبه میانگین بازماند بزرگ‌گایی برای آن ایستگاه می‌توان تصحیح ایستگاهی آن را به دست آورد.

مقادیر تصحیحات ایستگاهی در ارتباط با تغییرات محلی پوسته در اطراف ایستگاه نسبت به مدل میانگین پوسته است، بنابراین می‌توان با مطالعه تصحیحات ایستگاهی، تغییرات زمین‌شناسی پوسته را بررسی کرد. بیشتر ایستگاه‌های واقع در البرز، زاگرس و شمال غرب ایران دارای تصحیح ایستگاهی منفی و بیشتر ایستگاه‌های واقع در ایران مرکزی دارای تصحیح ایستگاهی مثبت هستند. چنین الگویی می‌تواند بیانگر تشدید قابل ملاحظه‌ی دامنه امواج برشی در حوضه‌های رسوبی البرز و زاگرس و منطقه شمال غرب ایران نسبت به ایران مرکزی باشد.

عسکری و همکاران [۳] یک رابطه کاهنده‌ی بزرگ‌گایی محلی زمین‌لرزه‌ها برای البرز میانی پیشنهاد دادند. فاصله میانگین ایستگاه‌های لرزه‌نگاری به کار گرفته شده در کار عسکری و همکاران [۳] ۵۰ کیلومتر است و برآورد بزرگ‌گایی محلی بیشتر با استفاده از دامنه‌هایی که در فاصله بیش از ۵۰ کیلومتر اندازه‌گیری شده‌اند، انجام گرفته است. شجاع‌طاھری و همکاران [۱۰] با به کار گیری شتاب‌نگاشت‌های شبکه شتاب‌نگاری مرکز تحقیقات ساختمان و مسکن برای زمین‌لرزه‌های با بزرگ‌گایی بیشتر از ۴/۵ ایران یک رابطه بزرگ‌گایی محلی برای ایران پیشنهاد کردند. بیشتر دامنه‌های اندازه‌گیری شده در کار شجاع‌طاھری و همکاران [۱۰] در فواصل کمتر از ۵۰ کیلومتر است. به علت عدم مکان‌یابی دقیق زمین‌لرزه‌های به کار رفته، بزرگ بودن زمین‌لرزه‌های انتخابی (بزرگ‌تر از ۴/۵) و لاجرم نقطه‌ی نبودن چشمی لرزه‌ای، و در نظر نگرفتن اثرات



شکل (۹): مقایسه منحنی کاهنده شده با رابطه بزرگ‌گایی هاتون و بور [۱].

بنابراین به طور کلی استفاده از رابطه هاتون و بور در ایران برای زلزله‌هایی که در فواصل کمتر از ۱۰۰ کیلومتر رخ می‌دهند منجر به تخمین بیشتر بزرگ‌گایی زلزله‌هایی که اکثر دامنه‌های آنها در فواصل بیش از ۲۰۰ کیلومتر ثبت شده‌اند، منجر به محاسبه بزرگ‌گایی کمتر نسبت به آنچه رابطه بزرگ‌گایی محلی ما را نهاده، می‌گردد. با توجه به شکل (۹)، به دلیل تطابق رابطه کاهنده‌ی این مطالعه با رابطه هاتون و بور در فاصله‌ی بزرگ‌گایی بیشتر یا کمتر از مقدار واقعی ارائه خواهد کرد. به علت پراکندگی مکانی نامناسب ایستگاه‌های لرزه‌نگاری ایران (شکل ۲)، تعداد قابل ملاحظه‌ای از زلزله‌های ثبت شده توسط شبکه‌های لرزه‌نگاری ایران دارای تعداد زیادی خوانش دامنه با فاصله کانونی بیش از ۲۰۰ کیلومتر هستند، در نتیجه بزرگ‌گایی ارائه شده برای این رخدادها کمتر از مقدار واقعی آنهاست.

مقادیر تصحیحات ایستگاهی محاسبه شده می‌تواند معیار خوبی برای آزمودن صحت توابع پاسخ دستگاهی مورد استفاده باشد. در صورت اشتباه بودن باز تابع پاسخ یک ایستگاه، این اشتباه به صورت یک تصحیح ایستگاهی زیاد و غیر قابل قبول نشان داده خواهد شد. در این مطالعه تصحیحات ایستگاهی بزرگ‌گا در بازه‌ی قابل قبول ۰/۴۴ و ۰/۳۲ به دست آمده است

- in southern California. *Bulletin of Seismological Society of America*, **77**, 2074–2094.
2. Bakun, W.H. and Joyner W.B. (1984) The  $M_L$  scale in central California. *Bulletin of Seismological Society of America*, **74**, 1827–1843.
  3. Askari, R., Ghods, A., and Sobouti, F. (2009) Calibration of an  $M_L$  Scale in the Alborz Region, Northern Iran. *Bulletin of Seismological Society of America*, **99**, 268–27.
  4. Ghods, A. and Sobouti, F. (2005) Quality assessment of seismic recording: Tehran seismic telemetry network. *Asian Journal of Earth Sciences*, **25**, 687–694.
  5. Rezapour, M. (2005) Magnitude scale in the Tabriz seismic network. *Journal of the Earth & Space Physics*, **31**(1), 13–21.
  6. Nuttli, O.W. (1973) Seismic wave attenuation relations for eastern North America. *Journal of Geophysical Research*, **78**, 876–855.
  7. Richter, C.F. (1935) An instrumental earthquake magnitude scale. *Bulletin of Seismological Society of America*, **25**, 1–32.
  8. Shahbazi, S. (2010) Local Magnitude Calibration of NW Iran. M.Sc. Thesis, Institute for Advanced Studies in Basic Sciences (IASBS) (in Persian).
  9. Rezapour, M. and Rezaei R. (2011) Empirical distance attenuation and the local magnitude scale for northwest Iran. *Bulletin of Seismological Society of America*, **101**, 3020–3031.
  10. Shoja-Taheri, J., Naserieh, S., and Ghofrani, H. (2007)  $M_L$  and  $M_w$  Scales in the Iranian Plateau Based on the Strong-Motion Records. *Bulletin of Seismological Society of America*, **97**, 661–669.
  11. Jordan, T.H. and Sverdrup, K.A. (1981) Teleseismic location techniques and their application to earthquake clusters in the south-central Pacific. *Bulletin of Seismological Society of America*, **71**, 1105–1130.
  12. Ghods, A., Rezapour, M., Bergman, E., Mortezanejad, G. and Talebian, M. (2012) Relocation of the 2006  $M_w$  6.1 Silakhour, Iran,

ساختگاهی ایستگاه‌های شتابنگاری، اندازه‌های بازماند بزرگ‌گا دارای پراکندگی بسیار زیادی است. ایستگاه‌های شتابنگاری بیشتر در مناطق مسکونی، بر روی آبرفت و درون ساختمان‌ها نصب گردیده‌اند و می‌توانند دارای اثرات ساختگاهی زیادی باشند. بنابراین کاربرد بزرگ‌گای محلی شجاع‌طاھری و همکاران [۱۰] برای فواصل کم کانونی همانند مقیاس بزرگ‌گای محلی عسکری و همکاران [۳] برآورد دقیقی از بزرگ‌گا در پی ندارد.

در این پژوهش با استفاده از یک مجموعه زلزله با دقت مکان‌یابی بالا که پراکندگی پرتوی مناسب از محدوده ۱۲ الی ۸۰۰ کیلومتری را فراهم می‌کند، برای اولین بار رابطه بزرگ‌گای محلی برای ایران محاسبه شد. به دلیل استفاده از پرتوهای با طول کوتاه به دست آمده از خوش‌های زلزله دارای خطای رومکزی کمتر از ۵ کیلومتر، مقدار پارامتر پخش هندسی به دست آمده از این مطالعه دارای اعتبار بیشتری است. نتیجه به دست آمده از این مطالعه پخش فوق کروی جبهه موج برشی را در فواصل نزدیک پیشنهاد می‌کند. با توجه به خوانش دامنه تا فاصله ۸۰۰ کیلومتری، مقدار به دست آمده برای ضربی غیر الاستیک، میانگین تمام مناطق تکونیکی فلات ایران به جز منطقی مکران و خوزستانی است. با توجه به تفاوت قابل ملاحظه‌ی رابطه‌ی کاهندگی ارائه شده توسط هاتون و بور [۱] با رابطه‌ی به دست آمده از این مطالعه، استفاده از پارامترهای ارائه شده در این مطالعه در تخمین بزرگ‌گای محلی زلزله‌هایی که درون پوسته‌ی فلات ایران رخ می‌دهند، منجر به تخمین بزرگ‌گا با دقت بیشتر نسبت به رابطه‌ی هاتون و بور خواهد شد.

## قدرتمند

نگارندگان از مرکز لرزه‌نگاری مؤسسه ژئوفیزیک دانشگاه تهران و پژوهشگاه بین‌المللی زلزله‌شناسی و مهندسی زلزله برای در اختیار قرار دادن داده‌های شکل موج تشکر می‌کنند.

## مراجع

1. Hutton, L.K. and Boore, D.M. (1987) The  $M_L$  scale

- Island earthquake (Zagros-Iran): Triggering of strike-slip faults at the basement. *Journal of Geodynamics*, **61**, 138–147.
20. Hessami, K., Jamali, F., and Tabassi, H. (2003) Major Active Faults of Iran (map), scale 1:2,500,000. Ministry of Science, Research and Technology, International Institute of Earthquake Engineering and Seismology.
21. Havskov, J., and Otemoller, L. (1999) *SEISAN: The Earthquake Analysis Software, version 8.0*. Institute of Solid Earth Physics, University of Bergen, Norway.
22. Bormann, P., Baumbach, M., Bock, G., Grosser, H., Choy, G., and Boatwright, J.L. (2002) Seismic Sources and Source Parameters, in IASPEI New Manual of Seismological Observatory Practice, P. Bormann (Editor), *GeoForschungsZentrum, Potsdam*, **1**, 16–48.
23. Uhrhammer, R.A. and Collins, E.R. (1990) Synthesis of Wood-Anderson seismograms from broadband digital records. *Bulletin of Seismological Society of America*, **80**, 702–716.
24. Savage, M.K. and Anderson, J.G. (1995) A local-magnitude scale for the Western Great Basin-Eastern Sierra Nevada from synthetic Wood Anderson seismograms. *Bulletin of Seismological Society of America*, **85**, 1236–1243.
25. Alsaker, L., Kvamme, B., Hansen, R.A., Dahle, A., and Bungum, H. (1991) The  $M_L$  scale in Norway. *Bulletin of Seismological Society of America*, **81**, 379–398.
26. Baumbach, M., Bindi, D., Grosser, H., Milkereit, C., Parolai, S., Wang, R., Karakisa, S., Zünbül, S., and Zschau, J. (2003) Calibration of an  $M_L$  Scale in Northwestern Turkey from 1999 Izmit Aftershocks. *Bull. Seismol. Soc. Am.*, **93**, 2289–2295.
27. González, M., Vidal, A., and Mungía, L. (2006) An  $M_L$  Scale for the La Paz–Los Cabos Region, Baja California Sur, México. *Bulletin of Seismological Society of America*, **96**, 1296–1304.
- Earthquake Sequence: Details of Fault Segmentation on the Main Recent Fault. *Bulletin of Seismological Society of America*, **102**, 398–416.
13. Ghods, A., Shabanian, E., Bergman, E., Faridi, M., Donner, S., Mortezaejad, G., Aziz Zanjany, A. (2015) The Varzaghan–Ahar, Iran, Earthquake Doublet (Mw 6.4, 6.2): implications for the geodynamics of northwest Iran. *Geophys. J. Int.*, **203**(1), 522–540.
14. Aziz Zanjani, A., Ghods, A., Sobouti, F., Bergman, E., Mortezaejad, G., Priestley, K., Madanipour, S. and Rezaeian, M. (2013) Seismicity in the western coast of the South Caspian Basin and the Talesh Mountains. *Geophys. J. Int.*, **195**(2), 799–814.
15. Walker, R.T., Bergman, E., Jackson, J., Ghorashi, M. and Talebian, M., (2005) The 2002 June 22 Changureh (Avaj) earthquake in Qazvin province, northwest Iran: epicentral relocation, source parameters, surface deformation and geomorphology. *Geophys. J. Int.*, **160**(2), 707–720.
16. Walker, R.T., Bergman, E., Szeliga, W., and Fielding, E.J. (2011) Insights into the 1968–1997 Dasht-e-Bayaz and Zirkuh earthquake sequences, eastern Iran, from calibrated relocations, InSAR and high-resolution satellite imagery. *Geophys. J. Int.*, **187**(3), 1577–1603.
17. Walker, R.T., Bergman, E., Elliott, J.R., Fielding, E.J., Ghods, A.R., Ghoraishi, M., Jackson, J., Nazari, H., Nemati, M., Oveisi, B., Talebian, M. and Walters, R.J. (2013) The 2010–2011 South Rigan (Baluchestan) earthquake sequence and its implications for distributed deformation and earthquake hazard in southeast Iran. *Geophys. J. Int.*, **193**, 349–374.
18. Walker, R.T., Khatib, M.M., Bahroudi, A., Rodés, A., Schnabel, C., Fattah, M., Talebian, M., Bergman, E. (2015) Co-seismic, geomorphic, and geologic fold growth associated with the 1978 Tabas-e-Golshan earthquake fault in eastern Iran. *Geomorphology*, **237**, 98–118.
19. Yaminifard, F., Tatar, M., Hessami, K., Gholamzadeh, A., Bergman, E. (2012) Aftershock analysis of the 2005 November 27 (Mw 5.8) Qeshm

## Local Magnitude Calibration in Iran

**Mehdi Maheri-Peyrov<sup>1</sup>, Ahmad Mirhashemi<sup>2</sup>, Abdolreza Ghods<sup>3\*</sup> and Majid Abassi<sup>4</sup>**

1. Ph.D. Student, Department of Earth Sciences, Institute for Advanced Basic Sciences, Zanjan, Iran
2. M.Sc. Graduate, Department of Earth Sciences, Institute for Advanced Basic Sciences, Zanjan, Iran
3. Associate Professor, Department of Earth Sciences, Institute for Advanced Basic Sciences, Zanjan, Iran,
- \* Corresponding author, email: aghods@iasbs.ac.ir
4. Assistant Professor, Department of Surveying Engineering, Zanjan University, Zanjan, Iran

Using 48016 synthetic maximum Wood-Anderson amplitudes read from waveforms of 2650 events recorded by stations of Iranian Seismological Center (IRSC, irsc.ut.ac.ir), Iranian National Seismograph Network (INSN, www.iies.ac.ir) and temporary seismic networks belong to Institute for Advanced Studies in Basic Sciences (IASBS, iasbs.ac.ir), the empirical attenuation curve ( $-\log A_0$ ) for local magnitude of Iran has been calculated as follows:

$$-\log A_0 = (1.556 \pm 0.06) \log\left(\frac{R}{100}\right) + (0.001637 \pm 0.0009)(R - 100) + 3$$

where  $R$  is hypocentral distance in km and  $A_0$  is maximum displacement amplitude of shear wave in millimeter. The empirical attenuation relationship is valid for hypocentral distances equal or smaller than 800 km.  $M_L$  amplitude is the maximum amplitude observed on a Wood-Anderson (W-A) seismogram. We manually picked the maximum amplitudes on the shear window of synthetic W-A seismograms having S/N of larger than 5. We calculated synthetic W-A seismograms by removing the instrument response of each record and convolving the resulting signal with the response of the standard W-A torsion seismograph. We assumed a static magnification of 2080 for the W-A instrument. The selected  $M_L$  amplitudes are belonging to events at hypocentral distance of 10 to 800 km. Except for the Makran and South Caspian Basin regions, the ray coverage of the  $M_L$  amplitude covers properly the whole Iranian Plateau.

To reduce the scatter of magnitude residues and ensure a reliable calculation of the attenuation curve, the selected events belong to 45 precisely relocated seismic clusters with location uncertainties of 5 km or less. The cluster approach produces redundancy in amplitudes arriving from a cluster to a given station. The redundancy will facilitate easy recognition and removal of possible outliers and thus provide a reliable estimate for the magnitude station correction. The magnitude station corrections attempts to absorb the regional attenuation difference relative to that dictated by average attenuation relationship derived in this work.

The calculated attenuation curve shows a larger geometrical spreading for hypocentral distances closer than 100 km, representing a super-spherical geometrical spreading, and a smaller value for intrinsic attenuation for distances farther than 200 km once compared with the currently used  $M_L$  relationship of Hutton and Boore (1987). Excluding amplitudes with hypocentral distances smaller than 60 km results in a geometrical spreading coefficient close to spherical spreading, emphasizing the importance of near distances data on accurate estimation of the geometrical spreading value. The difference in the attenuation parameters between our results and those of Hutton and Boore (1987) relationship clearly indicates the crustal disparity of Iranian Plateau and southern California. This necessitates using the new attenuation relationship for Iran.

We calculated the local magnitude empirical attenuation relationship by inverting the amplitude data set for the geometrical spreading and intrinsic attenuation. We did not consider magnitude station corrections in our inversion to

## Extended Abstracts

avoid any tradeoff between the station corrections and attenuation parameters. We have shown that the magnitude residuals calculated by our local magnitude empirical relationship do not vary systemically versus hypocentral distance or magnitude. Due to the cluster-wise approach in selection of our events and partially because of the precise location of the selected events, the standard deviation of magnitude residues is about 0.19, significantly smaller than those reported by others.

We calculated the station corrections by averaging the magnitude residual in each station. The station corrections vary between -0.44 to 0.32. Generally, stations located in Zagros, Alborz and north west of Iran have negative station correction representing amplitude amplification in these regions relative to central Iran and north east of Iran. The new attenuation relationship provides better estimates for the attenuation parameters and especially provides precise magnitudes at close hypocentral distances. By time, the expansion of Iranian seismic networks reduces the average distance spacing of Iranian seismic stations and thus usage of better local magnitude formula such as ours becomes more important.

**Keywords:** Local Magnitude, Attenuation Curve, Station Correction, Iranian Plateau, Zagros.